

## ФОТОЛЮМИНЕСЦЕНЦИЯ АНТИМОНИДА ГАЛЛИЯ, ЛЕГИРОВАННОГО МАРГАНЦЕМ

Георгицэ Е. И., Гуцуляк Л. М., Иванов-Омский В. И.,  
Смирнов В. А., Юлдашев Ш. У.

Исследованы фотолюминесцентные свойства антимонида галлия, легированного марганцем в магнитных полях до 6 Т, в широком интервале концентраций марганца ( $0.005 \div 1$  ат%) при температурах 2 и 4.2 К.

На основе анализа температурной зависимости коэффициента Холла и наблюдаемых полос ФЛ показано, что марганец в антимониде галлия является акцептором с глубиной залегания 18 мэВ и заменяет, скорее всего, вакансию галлия в основной матрице.

Проведена идентификация наблюдавшихся излучательных полос. Обнаружен вклад в излучательную рекомбинацию электронов основного ( $\Gamma_6$ ) и побочного (L) минимумов зоны проводимости.

**Введение.** Один из отличительных признаков антимонида галлия в ряду других соединений Al<sup>III</sup>Br<sup>V</sup> — большая концентрация акцепторов, природа которых недостаточно изучена. Можно ожидать, что изучение поведения примесей переходных элементов в антимониде галлия в качестве своеобразных магнитных атомов с большим собственным моментом может способствовать прояснению ситуации.

В настоящей работе магнитооптическим методом исследуется природа примесных состояний, вводимых в антимонид галлия при легировании его марганцем. Исследованы спектры фотолюминесценции (ФЛ) в широком интервале температур, магнитных полей и концентраций марганца.

### 1. Экспериментальные результаты и их обсуждение

Исследуемые кристаллы антимонида галлия были выращены модифицированным методом зонной плавки в режиме зонного выравнивания с перемешиванием расплава за счет механических колебаний на частоте 12 Гц. Легирование марганцем, а также марганцем и теллуром проводилось в процессе зонной плавки. Марганец особой чистоты вводили в шихту в концентрациях  $0.005 \div 1$  ат%. Характеристики изучавшихся образцов представлены в таблице. Исследованные образцы обладали p-типом проводимости.

Образец	300 К			77 К	
	Mn, ат%	$N_A - N_D$ , см <sup>-3</sup>	$\mu$ , см <sup>2</sup> /В · с	$N_A - N_D$ , см <sup>-3</sup>	$\mu$ , см <sup>2</sup> /В · с
1	0	$1.4 \cdot 10^{17}$	597	$2.90 \cdot 10^{16}$	1970
2	0.005	$1.9 \cdot 10^{17}$	549	$3.5 \cdot 10^{16}$	1600
3	0.01	$2.9 \cdot 10^{17}$	448	$6.1 \cdot 10^{16}$	1530
4	0.1	$3.2 \cdot 10^{17}$	516	$1.0 \cdot 10^{17}$	930
5	1	$3.3 \cdot 10^{18}$	216	$3.6 \cdot 10^{18}$	187
6	0.01; 0.1 Te	$3.6 \cdot 10^{17}$	250	$1.3 \cdot 10^{17}$	600

ФЛ исследовалась по стандартной методике, описанной в работе [1]. Перед измерениями образцы подвергались механической полировке с последующим травлением в полирующем травителе состава (1HF, 9HNO<sub>3</sub>). Возбуждение неравновесных носителей осуществлялось с помощью твердотельного лазера Nd : YAG, мощность которого при работе в непрерывном одномодовом режиме составляла ~0.5 Вт. Излучение от образца с помощью оптической системы вводилось в монохроматор МДР-2, на выходе которого регистрировалось с помощью фотоприемника на основе охлаждаемого сульфида свинца.

Разрешение оптической системы было не хуже 0.2 мэВ. Магнитное поле создавалось с помощью сверхпроводящего соленоида. В наших экспериментах наблюдение фотолюминесценции в магнитном поле проводилось в геометрии Фарадея на отражение.

На рис. 1 представлены спектры ФЛ нелегированного антимонида галлия и легированного марганцем с различной концентрацией. Видно, что в спектре фотолюминесценции нелегированного антимонида галлия выделяются три энергетические полосы, совпадающие с известными в литературе полосами, соответствующими природным акцепторам *A* (777 мэВ) и двум связанным экситонам — *BE*<sub>3</sub> (800 мэВ) и *BE*<sub>4</sub> (796 мэВ). Принято считать, что акцепторами в данном случае являются природные дефекты, скорее всего, ваканции сурьмы [2] с энергией *E*<sub>*A*</sub> ~ 34 мэВ. Излучательная полоса *BE*<sub>4</sub> приписывается связанныму на нейтральном акцепторе экситону. С коротковолновой стороны *BE*<sub>4</sub> видно слабое излучение (рис. 1, кривая 1) с максимумом ~800 мэВ. В работе [3] эта полоса обозначена *BE*<sub>3</sub> и приписывается также связанныму экситону (*A*<sup>0</sup>*x*), в то время как в работе [4] полоса ~800 мэВ связывается с переходом зона проводимости—акцептор (*eA*<sup>0</sup>).

Как следует из данных, приведенных на рис. 1 (кривые 2—5), при легировании антимонида галлия марганцем спектр ФЛ претерпевает значительные изменения. Прежде всего число излучательных полос в спектре уменьшается с трех до двух — *A* и *B*. Далее, с увеличением концентрации вводимого марганца наблюдается уменьшение интенсивности полосы *A* (777 мэВ), появляется новая полоса излучения *B* (793 мэВ), которая растет по интенсивности. Уменьшение интенсивности полосы *A* связано, по-видимому, с уменьшением количества собственных дефектов, например, в результате их зализивания атомами марганца. В то же время рост интенсивности полосы *B* с увеличением содержания марганца свидетельствует о введении новых акцепторных центров с различной энергией ионизации, скорее всего, связанных с атомами марганца. В образце с концентрацией 1 % Mn полоса *A* практически исчезает. С изменением содержания марганца максимум полосы *B* не смещается, а ее полуширина растет. В пользу предположения о появлении с легированным антимонида галлия акцепторного уровня, связанного с марганцем, свидетельствуют и электрофизические измерения, представленные на рис. 2. На этом рисунке

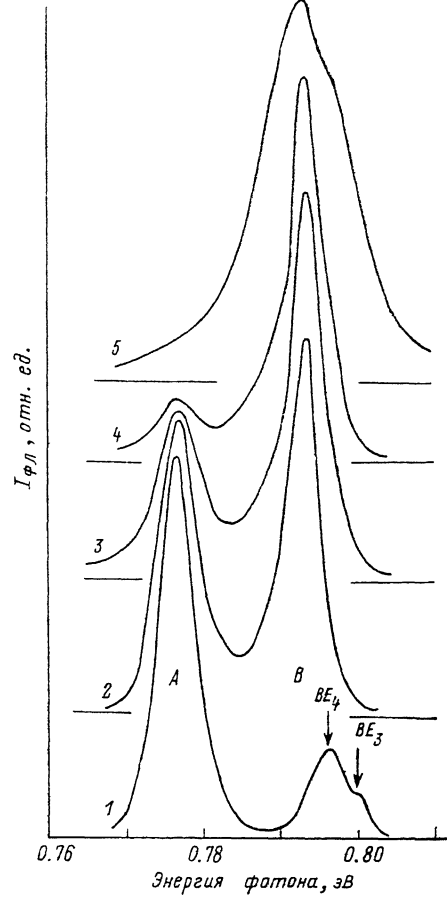


Рис. 1. Спектры ФЛ антимонида галлия при  $T=2$  К.

1 — нелегированный GaSb, 2 — GaSb : 0.005 % Mn, 3 — GaSb : 0.01 % Mn, 4 — GaSb : 0.1 % Mn, 5 — GaSb : 1 % Mn.

приведены температурные зависимости коэффициента Холла для различных концентраций введенного марганца. Видно, что с увеличением содержания марганца уменьшается коэффициент Холла, что говорит об увеличении концентрации дырок в исследуемых образцах. Данные о концентрации свободных дырок в исследованных образцах приведены в таблице. Наклон температурной зависимости концентрации дырок для энергии активации этого уровня в наиболее чистом образце дает значение  $(16 \pm 1)$  мэВ. Эти данные находятся в неплохом согласии с величиной энергии ионизации акцептора  $E_A \sim 18$  мэВ, определенной по положению полосы  $B$  относительно края зоны в спектре ФЛ.

На рис. 3 показано температурное гашение ФЛ полосы  $B$  для образца, содержащего 0.005 ат% Mn. Наклон температурной зависимости интенсивности ФЛ дает такое же значение для глубины залегания этого уровня, что служит

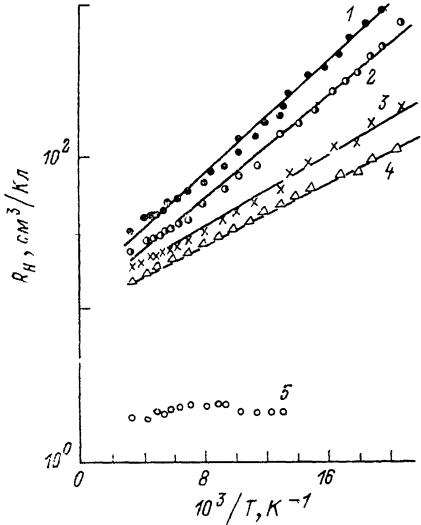


Рис. 2. Зависимость коэффициента Холла от температуры.

1 — GaSb : 0.005 % Mn, 2 — GaSb : 0.01 % Mn;  
3 — GaSb : 0.1 % Mn, 4 — GaSb : 0.01 % Mn :  
0.1 % Te, 5 — GaSb : 1 % Mn.

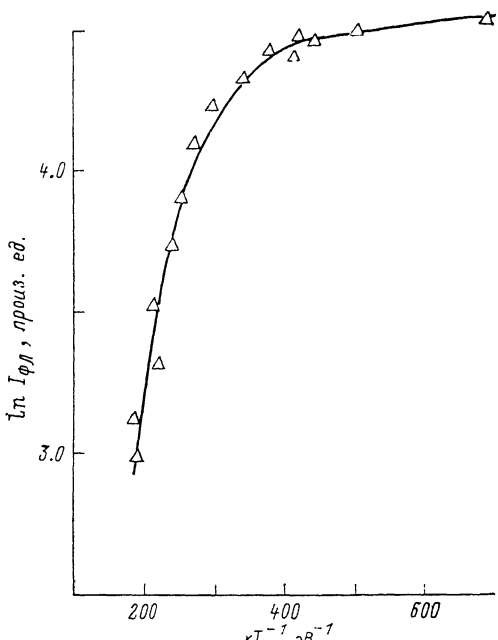


Рис. 3. Зависимость интенсивности ФЛ от температуры для образца GaSb : 0.005 % Mn.

подтверждением связи полосы  $B$  с рекомбинацией через канал зона проводимости—акцептор.

Смещение полос излучения  $A$  и  $B$  с температурой для двух образцов с различной концентрацией марганца показано на рис. 4. Видно, что в интервале температур  $2 \div 50$  К происходит смещение максимума полосы  $B$  в коротковолновую область спектра: при  $T \sim 40$  К оно достигает  $\sim 6$  мэВ. Качественно аналогичная картина наблюдалась для полосы 800 мэВ в нелегированном антимониде галлия [4], однако смещение в этом случае не превышало  $\sim 1$  мэВ при температуре 25 К. Температурное смещение полосы излучения  $B$ , связываемой нами с переходами зона проводимости—марганцевый центр, может быть оценено по формуле (1), взятой из работы [5],

$$\hbar\omega_{\max} = \epsilon_g(T) - \epsilon_A + \frac{k_B T}{2}, \quad (1)$$

где  $\hbar\omega_{\max}$  — энергия, соответствующая максимуму полосы излучения  $B$ ,  $\epsilon_g(T)$  — зависимость ширины запрещенной зоны от температуры,  $\epsilon_A$  — энергия ионизации акцептора,  $k_B$  — постоянная Больцмана,  $T$  — температура. Функция  $\epsilon_g(T)$  определена в работе [4] и представлена на рис. 4. На этом же рисунке приведена зависимость положения максимума полосы фотолюминесценции  $B$

от температуры, рассчитанная по формуле (1) [5]. Видно, что наблюдаемое смещение полосы  $B$  значительно превосходит рассчитанное, следовательно, экспериментальные результаты не могут быть объяснены в рамках модели Иглса [5]. Можно полагать, что причиной столь значительного температурного сдвига служит переход от коррелированного распределения носителей заряда по состояниям в хвостах зоны к хаотическому [6, 7]. Сравнение температурного сдвига полосы природного акцептора  $A$  с температурной зависимостью полосы  $B$ , относящейся к марганцу, позволяет думать, что в последнем случае дополнительно возникает магнитополярный вклад [8]. При температурах выше ~60 К обе полосы ФЛ смещаются в длинноволновую область спектра приблизительно с одинаковой скоростью, совпадающей с температурным ходом ширины запрещенной зоны.

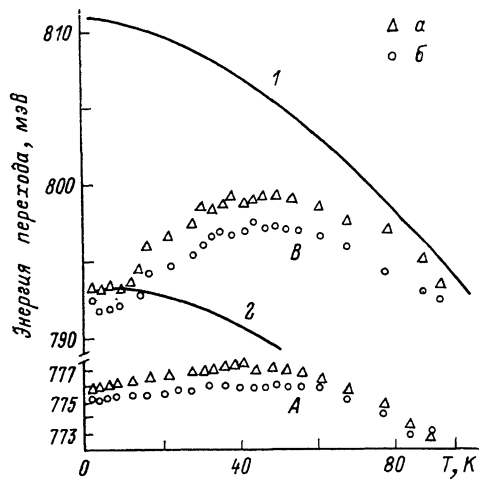


Рис. 4. Температурное смещение максимумов полос  $A$  ( $a$  — GaSb : 0.005 % Mn,  $b$  — GaSb : 0.01 % Mn) и  $B$  ( $a$  — GaSb : 0.005 % Mn,  $b$  — GaSb : 0.01 % Mn).

Сплошные линии: 1 — расчет зависимости  $\varepsilon_g(T)$  по формуле работы [4], 2 — расчет по формуле (1) работы [5].

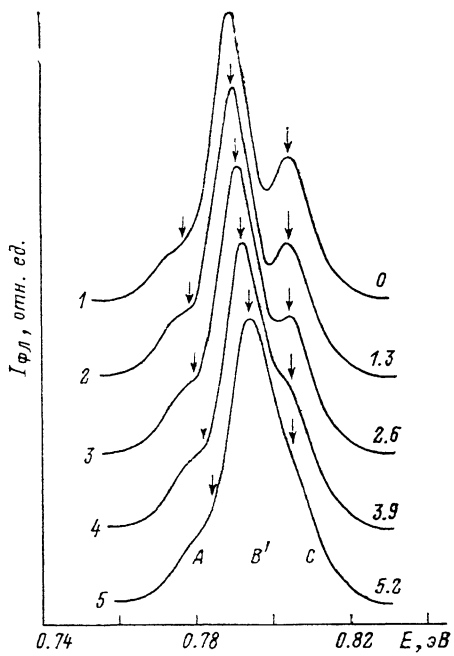


Рис. 5. Спектры ФЛ GaSb : 0.01 % Mn : 0.1 % Te при 2 К в отсутствие магнитного поля (1) и в магнитном поле (2—5). Цифры у кривых справа — значения магнитного поля (в Т).

На рис. 5 представлены спектры фотолюминесценции для образца антимонида галлия, легированного марганцем и теллуром. В расплав введены 0.01 % Mn и 0.1 % Te.

Эти образцы GaSb : Mn : Te, так же как и GaSb : Mn, обладали  $p$ -типа проводимости. Из представленных на этом рисунке результатов видно, что при отсутствии магнитного поля в спектре ФЛ (кривая 1) четко выделяются три полосы при энергиях соответственно 777 (полоса  $A$ ), 790 (полоса  $B'$ ) и 804 мэВ (полоса  $C$ ). В отличие от данных, приведенных для образца GaSb, содержащего только марганец (рис. 1, кривая 3), в GaSb : Mn : Te в спектре ФЛ интенсивность полосы  $A$  намного меньше: она практически скрывается в крыле полосы  $B'$ . По интенсивности полоса  $B'$  преобладает и отличается от полосы  $B$  в GaSb : Mn по энергии и полуширине (~12.8 мэВ). Полуширина полосы ФЛ  $B'$  для образца GaSb : Mn : Te больше ширины полосы  $B$  соответствующего образца GaSb : Mn. Полоса  $C$  не наблюдается в спектре ФЛ антимонида галлия, легированного марганцем в отсутствие теллура.

Совокупность экспериментальных результатов для GaSb : Mn : Te, описанных выше, позволяет высказать предположение о природе наблюденных в спектрах ФЛ особенностей. Известно [9, 10], что теллур в антимониде галлия ведет себя как донор и при введении его более  $10^{17}$  см $^{-3}$  переводит исходный

антимонид галлия из *p*-типа в *n*-типе. Известно также, что энергия ионизации теллура составляет 3.6 мэВ [11].

Как предполагалось выше, марганец в GaSb является акцептором с энергией ионизации 18 мэВ. Очевидно, что при одновременном введении в антимонид галлия атомов теллура и марганца образуется сильно компенсированный материал, тип проводимости которого зависит от соотношения примесей. В нашем случае введены совместно в GaSb 0.01 % Mn и 0.1 % Te. Несмотря на большую концентрацию вводимого теллура по сравнению с концентрацией марганца, образец GaSb сохраняет *p*-тип проводимости, что связано, по-видимому, с тем, что не все атомы теллура находятся в электрически активном состоянии: часть атомов теллура увеличивает концентрацию компенсирующих доноров, а часть участвует в образовании комплексов  $V_{Ga}$ —Te. Этот вывод согласуется с результатами работы [12]. Проанализируем природу наблюдаемых излучательных полос в спектре ФЛ GaSb : Mn : Te в отсутствие магнитного

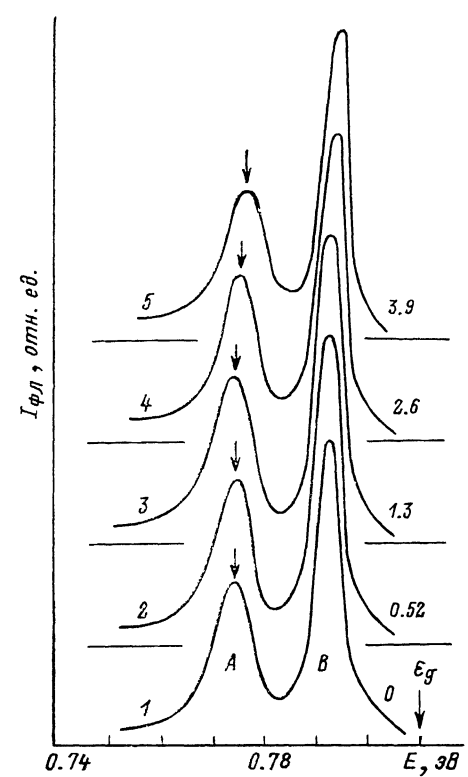


Рис. 6. Спектры ФЛ GaSb : 0.01 % Mn при 2 К в отсутствие магнитного поля (1) и в магнитном поле (2–5).

Цифры у кривых справа — значения магнитного поля ( $B$  в Т). Стрелкой  $\epsilon_g$  показано значение ширины запрещенной зоны при данной температуре в отсутствие магнитного поля.

димому, с тем, что не все атомы теллура находятся в электрически активном состоянии: часть атомов теллура увеличивает концентрацию компенсирующих доноров, а часть участвует в образовании комплексов  $V_{Ga}$ —Te. Этот вывод согласуется с результатами работы [12]. Проанализируем природу наблюдаемых излучательных полос в спектре ФЛ GaSb : Mn : Te в отсутствие магнитного

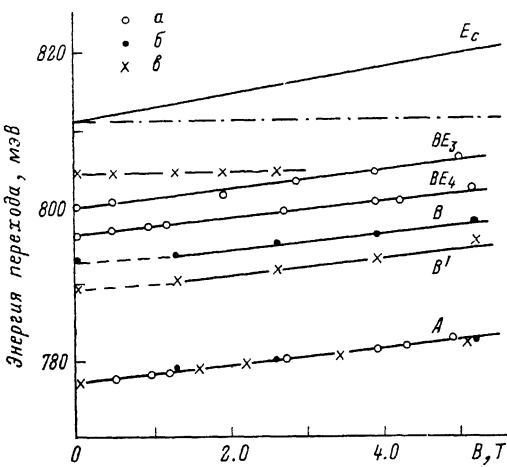


Рис. 7. Диаграмма смещения наблюдаемых излучательных полос в магнитном поле при 2 К.

*a* — нелегированный GaSb, *b* — GaSb : 0.01 % Mn, *c* — GaSb : 0.01 % Mn : 0.1 % Te. Сплошная линия  $E_c$  — смещение нижнего уровня Ландау зоны проводимости в магнитном поле, расчет по данным работы [13].

поля при 2 К. Экспериментальные результаты показывают, что полоса  $B'$  в GaSb : Mn : Te отстоит от полосы  $B$  в GaSb : Mn на величину  $\sim 3$  мэВ. Это может указывать на то, что полоса  $B'$  связана с донорно-акцепторной рекомбинацией, причем в качестве донора выступает теллур.

Известно, что энергия кванта, излучаемого при рекомбинации донорно-акцепторной пары, содержит в себе вклад кулоновского взаимодействия заряженных партнеров пары в соответствии с уравнением

$$\hbar\omega_{\max} = \epsilon_g - (\epsilon_A + \epsilon_D) + \frac{e^2}{\epsilon_0 r}, \quad (2)$$

где  $\epsilon_A, \epsilon_D$  — энергии активации акцептора и донора соответственно,  $e$  — заряд электрона,  $r$  — расстояние между донором и акцептором,  $\epsilon_0$  — диэлектрическая проницаемость. Вместе с тем при выполнении условия  $r \leq 2a_e$  [13] ( $a_e$  — боровский радиус мелкого донора), что имеет место при концентрациях акцеп-

торов в случае GaSb на уровне  $10^{17} \text{ см}^{-3}$ , связанного состояния электрона не образуется, поэтому в спектре ФЛ не соблюдается линейчатой структуры, обусловленной рекомбинацией между близкими парами, и в (2) кулоновским взаимодействием можно пренебречь. Следовательно, в рассматриваемом случае энергетическое положение донорно-акцепторной полосы определяется

$$\hbar\omega_{\max} \simeq \epsilon_g - (\epsilon_A + \epsilon_D). \quad (3)$$

В спектре ФЛ GaSb : Mn : Te наблюдается полоса  $C$ , которая отсутствует в спектре антимонида галлия без теллура. Энергетическое положение полосы  $A$  и ее смещение в магнитном поле (рис. 6) такие же, как и для нелегированного антимонида галлия, следовательно, можно полагать, что ее природа не изменяется при легировании и связана по-прежнему с переходами зона проводимости—природный акцептор.

Влияние магнитного поля на излучательную рекомбинацию образца GaSb : Mn : Te показано на рис. 5 (кривые 2—5).

В магнитном поле излучательные полосы  $A$  и  $B'$  смещаются в высокозэнергетическую область спектра, в то время как полоса  $C$  практически не смещается во всем исследуемом интервале магнитных полей.

На рис. 6 приведены спектры ФЛ образца GaSb : 0.01 % Mn в магнитном поле. Видно, что в магнитном поле обе полосы ФЛ сдвигаются в высокозэнергетическую область спектра. В магнитном поле дополнительной структуры в спектрах ФЛ не возникает.

Диаграмма смещения максимумов, наблюдавшихся в нелегированных и легированных GaSb : Mn, GaSb : Mn : Te образцах в магнитном поле при 2 К, представлена на рис. 7. Для сравнения на этом рисунке сплошной линией  $E_c$  изображено смещение нижнего уровня Ландау в магнитном поле, рассчитанное в соответствии с данными работы [14] с использованием следующих параметров: ширина запрещенной зоны  $\epsilon_g = 811 \text{ мэВ}$ , эффективная масса электронов  $m_e^* = 4.1 \cdot 10^{-2} m_0$  [15],  $g$ -фактор зоны проводимости  $g = (7.8 \pm 0.4)$  [14]. Видно, что излучательные полосы  $A$ ,  $B$  и  $B'$  в магнитном поле смещаются практически параллельно линии  $E_c$ . Одинаковый наклон в зависимости положения максимумов излучательных полос  $A$ ,  $B$  и  $B'$  от магнитного поля свидетельствует о том, что в рассматриваемых переходах участвуют электронные состояния, генетически связанные с основным минимумом зоны проводимости  $\Gamma_b$ . В связи с этим обращает на себя внимание необычное поведение в магнитном поле полосы  $C$ , энергия которой не зависит от магнитного поля. Можно поэтому полагать, что в эти оптические переходы вовлечены состояния, связанные с побочным 1-минимумом зоны проводимости, эффективная масса электронов в котором существенно выше.

Анализ влияния магнитного поля, температуры и концентрации вводимого марганца на структуру спектров ФЛ позволяет предположить следующую интерпретацию спектральных полос. Полоса  $A$  обусловлена переходами зона проводимости—природный акцептор, согласно принятой в литературе классификации [16–18]. Полоса  $B$  связана с переходами зона проводимости—акцептор, в качестве последнего, очевидно, выступает марганец, замещающий вакансии галлия.

Участие мелких природных доноров в формировании этих полос не может быть исключено. Полоса  $B'$  связана, скорее всего, с донорно-акцепторной рекомбинацией, причем в качестве донора выступает теллур (и именно те его состояния, которые произошли из состояний  $\Gamma_b$ -минимума зоны проводимости). Полоса  $C$ , по-видимому, также обусловлена донорно-акцепторной рекомбинацией, но с участием донорных состояний теллура, происходящих из состояний  $L$ -минимума зоны проводимости. Заполнение этих состояний становится вероятным из-за высокого уровня легирования теллуром ( $\sim 10^{19} \text{ см}^{-3}$ ) в донорно-акцепторных парах малого размера.

Авторы выражают благодарность В. Ф. Мастерову и В. А. Харченко за полезные дискуссии.

# Список литературы

- [1] Гельмонт Б. Л., Иванов-Омский В. И., Мальцева В. А., Смирнов В. А. // ФТП. 1981. Т. 15. В. 6. С. 1109—1115.
- [2] Van der Meulen Y. J. // J. Phys. Chem. Sol. 1967. V. 28. N 1. P. 25—32.
- [3] Ruhle W., Jakowets W., Wolk C., Linnebach R., Pilkuhn M. // Phys. St. Sol. (b). 1976. V. 73. N 1. P. 255—264.
- [4] Chidley E. T. R., Haywood S. K., Henriquez A. B., Masch N. J., Nicholas R. J., Walker P. J. // Semicond. Sci. Techn. 1991. V. 6. N 1. P. 45—54.
- [5] Eagles L. // J. Phys. Chem. Sol. 1960. V. 16. N 1. P. 76—80.
- [6] Барановский С. Д., Гельмонт Б. Л., Голубев В. Г., Иванов-Омский В. И., Осутин А. В. // ФТП. 1989. Т. 23. В. 8. С. 1434—1440.
- [7] Барановский С. Д., Гельмонт Б. Д., Голубев В. Г., Иванов-Омский В. И., Осутин А. В. // Письма ЖЭТФ. 1987. Т. 46. В. 10. С. 405—407.
- [8] Wolff P. A. // Semicond. Semimet. 1984. V. 25. P. 413—455.
- [9] Лазарева И. К., Стучебников В. М. // ФТП. 1970. Т. 4. В. 4. С. 649—653.
- [10] Георгицэ Е. И., Миронов И. Ф. // Матер. Всес. конф. по тройным соединениям и их применение. Кипшинев, 1979. С. 153.
- [11] Chen S. C., Su Y. K. // J. Appl. Phys. 1989. V. 66. N 1. P. 350—353.
- [12] Лебедев А. И., Стрельников И. А. // ФТП. 1979. Т. 13. В. 2. С. 389—392.
- [13] Hopfield J. J. // Proc. 7. Int. Conf. Phys. Semicond. Dunod, Paris, France, 1965. P. 725—735.
- [14] Ruhle W., Bimberg P. // Phys. Rev. B. 1975. V. 12. N 6. P. 2382—2396.
- [15] Filion A., Fortin E. // Phys. Rev. B. 1973. V. 8. N 8. P. 3852—3860.
- [16] Nicholas D. J., Lee M., Hamilton B., Singer K. E. // J. Cryst. Growth. 1987. V. 81. N 1. P. 298—306.
- [17] Noack R. A., Rule W., Morgen T. N. // Phys. Rev. B. 1978. V. 18. N 12. P. 6944—6956.
- [18] Jakowetz W., Ruhle W., Preuminger K., Pilkuhn M. // Phys. St. Sol. (a). 1972. V. 12. N 1. P. 169—174.

Физико-технический институт  
им. А. Ф. Иоффе АН СССР  
Санкт-Петербург

Получена 10.06.1991  
Принята к печати 19.06.1991